

## МОДЕЛИРОВАНИЕ НА МН-8 ВИБРОУДАРНИКА

В. А. Бебихов

Рассмотрены способы моделирования на МН-8 виброударника с неподвижной ограничивающей плоскостью

В безразмерных переменных уравнения движения виброударника (рис. 1) имеют вид [1]:

$$\begin{aligned} \ddot{\xi} + \lambda^2 \xi &= \sin \tau \quad \text{при } \xi < \xi_0, \\ \dot{\xi}_1 &= -R \dot{\xi}_0 \quad \text{при } \xi = \xi_0, \end{aligned} \quad (1)$$

где  $\dot{\xi}_0, \dot{\xi}_1$  — скорости виброударника непосредственно до и после его удара о неподвижную ограничивающую плоскость  $\xi = \xi_0$ ,  $R$  — коэффициент восстановления скорости\*.

Основную трудность при моделировании подобных задач на математических машинах непрерывного действия представляет реализация удара, т. е. моделирование мгновенного изменения скорости виброударника\*\*.

Ниже описаны два способа моделирования удара. Основным в обоих способах является использование следящей системы типа „инерционное звено“ (вообще говоря, нелинейное) для непрерывного дублирования с достаточной точностью на допол-

нительном интеграторе скорости виброударника  $\dot{\xi}$  (или  $R\dot{\xi}$ ) по ее значению на основном интеграторе.

Блок-схема 1 набора задачи на МН-8 первым способом приведена на рис. 2. Блок-схема 2 набора задачи вторым способом приведена на рис. 3. На рис. 2 и 3 приняты следующие обозначения:  $\Sigma_i$  —  $i$ -ый суммирующий усилитель (четные сумматоры имеют диодное ограничение на  $\pm 100$  в [2]);  $\int_k$  —  $k$ -ый интегрирующий усилитель; 1,  $K_1 \div K_8, \lambda^2, K_R$  — коэффициенты усиления по соответствующему входу усилителя;  $C_i$  —  $i$ -ый стандартный блок сигнатур на МН-8;  $i$  ( $i$  (1) или  $i$  (2)) — тройка контактов (первая или вторая)  $i$ -го блока сигнатур (при неотрицательном напряжении на входе блока сигнатур в его тройке контактов замкнуты средний и нижний контакты, при отрицательном напряжении — средний и верхний контакты).

\* Моделирование виброударника для случая  $R = 0$  было проведено на электронной установке ЭМУ-5 института автоматики и телемеханики [1].

\*\* Способы моделирования удара, предложенные в настоящей работе, применимы при моделировании на математических машинах непрерывного действия задач, описываемых уравнениями вида:

$$\begin{aligned} x^{(n)} &= f_n(x^{(k)}, t) \quad \text{при } F(x^{(k)}, t) > 0 \quad (= 0 \text{ и т. п.}), \\ x^{(n)} &= g_n(x^{(k)}, t) \quad \text{при } F(x^{(k)}, t) = 0 \quad (< 0 \text{ и т. п.}) \end{aligned}$$

( $n, k = 1, 2, \dots, N$ ).

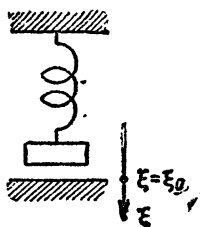


Рис. 1.

Рассмотрим особенности получения послеударной скорости в каждой из блок-схем.

**Блок-схема 1.** На сумматорах 6 и 8 ( $K_7, K_8 \gg 1$ ) собран триггер. Тройка контактов 12 (2) пропускает входной импульс только на тот сумматор триггера, у которого в данный момент на выходе — 100 в.

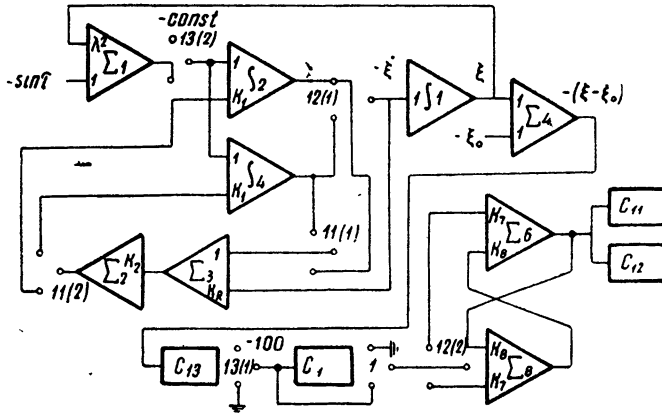


Рис. 2.

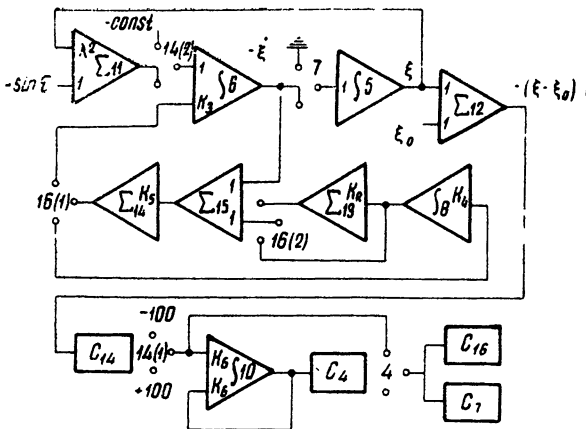


Рис. 3.

В момент удара тройки контактов 13 (1) и 1 формируют входной импульс, длительность которого определяется инерционностью блока сигнатур 1. Этим достигается надежность работы триггера (практически триггер надежно работал на частотах до 20 гц).

С каждым ударом поочередное соединение средних контактов с верхними или нижними контактами в тройках 11 (1), 11 (2), 12 (1) взаимозменяет роли интеграторов 2 и 4: в первом случае на интеграторе 2 (основном) интегрируется  $-\ddot{\xi}$ , а на интеграторе 4 (дополнительном) происходит слежение за  $R\ddot{\xi}$  ( $R = K_R$ ); во втором случае на интеграторе 2 (теперь дополнительном) происходит слежение за  $R\ddot{\xi}$ , а на интеграторе 4 (теперь основном) интегрируется  $-\ddot{\xi}$  и т. д.

После каждого удара на очередном основном интеграторе в качестве начального условия реализуется послеударная скорость  $-\dot{\xi}_1$ .

**Блок-схема 2.** До очередного выполнения условия удара замкнутость средних контактов с нижними в тройках 16 (1), 16 (2) и 7 обеспечивает интегрирование  $-\ddot{\xi}$  на основном интеграторе 6 и слежение за  $\ddot{\xi}$  на дополнительном интеграторе 8. При очередном выполнении условия удара напряжение  $-100$  в на время  $t_0 = \ln 2 / K_6$  (обычно  $t_0$  много меньше времени между двумя очередными ударами) замыкает

средние контакты с верхними в этих же тройках 16 (1), 16 (2) и 7. Это обеспечивает за время  $t_0$  задание послеударной скорости  $-\dot{\xi}_1$  ( $R = K_R$ ) на интеграторе 6\* по доударной скорости  $\dot{\xi}_0$  с интегратора 8.

Заметим, что возможно соединение выхода интегратора 6 со входом интегратора 5. В этом случае при  $K_5 = 1$  в соответствии с уравнениями

$$\dot{\xi}_1 = -\dot{\xi}_0 [K_R - (1 + K_R) e^{-K_R t_0}], K_R t_0 + \frac{1 + K_R}{K_3} (e^{-K_R t_0} - 1) = 0 \quad (2)$$

коэффициент восстановления скорости  $R$  является функцией от  $K_R$ , приведенной на рис. 4 (при  $K_5 > 1$   $R = R(K_5, \dot{\xi}_0, K_R)$ ).

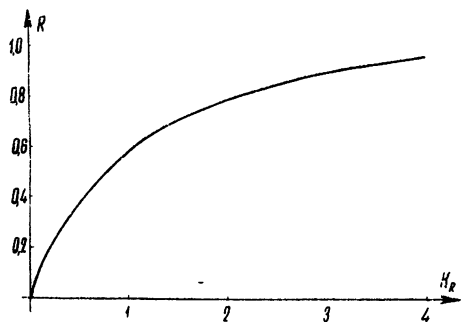


Рис. 4.

Система уравнений (1) при некоторых значениях параметров  $\lambda^2, R$  допускает периодические решения, содержащие бесконечное число ударов за один период. В этом случае при решении первым способом произойдет неизбежное несрабатывание триггера (в момент несрабатывания  $\xi = \xi_0, \dot{\xi} > 0, \ddot{\xi} > 0$ ), а при решении вторым способом вследствие возрастающей неточности в получении  $-\dot{\xi}_1$  и  $\dot{\xi}_0$  возможно появление послеударной скорости.

после очередного удара неотрицательной

Заметим, что для  $R=0$  всегда  $\dot{\xi}_1 = 0$  (в частности, если  $\ddot{\xi} > 0$  в точке  $\xi = \xi_0$ ).

Очевидно, что при соединении выхода сумматора 1 с первыми входами интеграторов 2 и 4 в блок-схеме I и выхода сумматора II с первым входом интегратора 6 в блок-схеме 2 получение неотрицательной скорости при  $\xi = \xi_0$  может привести к переходу траектории машинного решения за ограничивающую плоскость. Однако при введении схемы исправления решения на тройке 13 (2) в блок-схеме 1 и на тройке 14 (2) в блок-схеме 2 подобного искажения решения не происходит.

Качественно влияние схемы исправления решения показано на рис. 5 для  $R=0$  (при решении первым и вторым способами) и на рис. 6 для  $R > 0$  ( $R = 0,5$ ) (при решении первым способом).

На рис. 5 и 6 штрих-пунктирной линией обозначено машинное решение ( $\xi, \dot{\xi}$ ) без применения системы исправления решения,

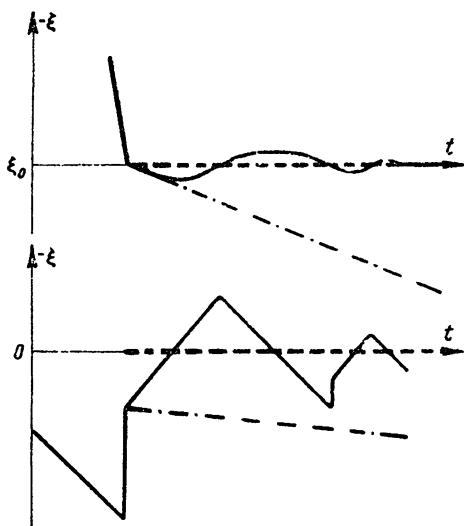


Рис. 5.

\* В блок-схемах 1 и 2 при больших значениях  $K_1 + K_3$  на полученных  $-\dot{\xi}_1, \dot{\xi}$  начинает сказываться разброс в срабатывании блоков сигнатур, ввиду чего максимальные значения  $K_1 + K_3$  устанавливались подбором.

сплошной линией—машинное решение с применением системы исправления решения, пунктирной линией — решение уравнений (1) на малом отрезке времени в допустимом предположении, что на нем  $\sin \tau = \text{const} > 0$ . (На рис. 6  $t_2$  — минимальный период срабатывания триггера.)

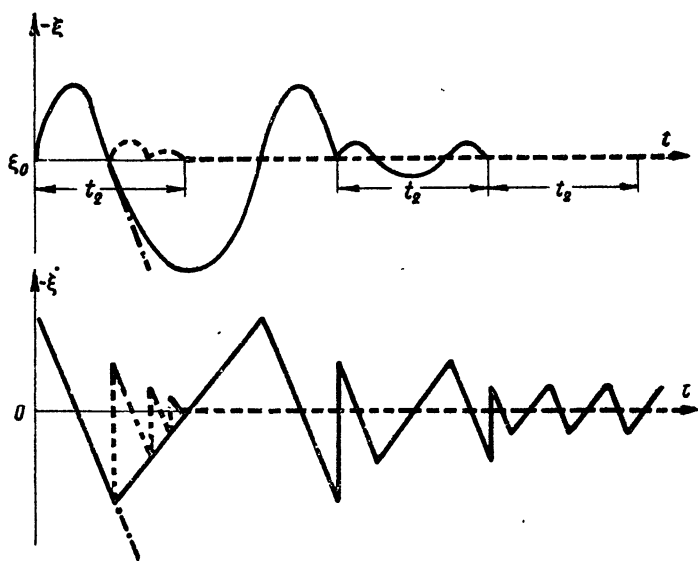


Рис. 6.

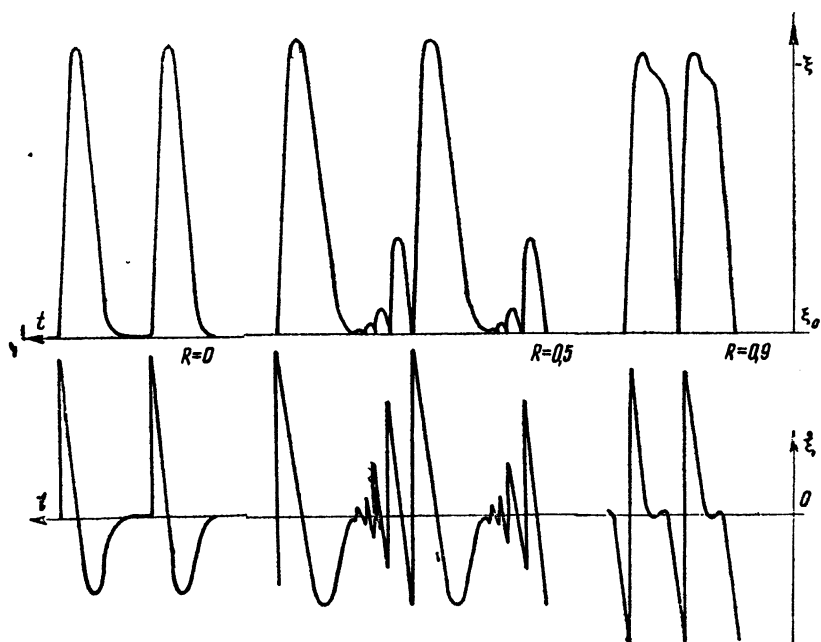


Рис. 7.

Решения, полученные при моделировании удара первым способом, для довольно сложных режимов хорошо совпали с соответствующими решениями, полученными при моделировании удара вторым способом. Совпали с достаточной точностью и границы различных типов режимов.

Отдельные примеры решений для  $R=0; 0,5; 0,9$  приведены на рис. 7. Машинные решения находятся в количественном соответствии с теоретическими исследованиями [1].

По блок-схеме 1 инженером вычислительного центра ГИФТИ К. К. Седовой было проведено моделирование виброударника на установке ЭМУ-8. При этом триггер был собран на четырех реле типа РС-13.

Рассмотренный выше метод моделирования особенности типа „удар“ можно применить при исследовании на математических машинах непрерывного действия следующих задач: задачи о виброгашении, задачи о погружении шпунтины под действием виброударника [3] и др.

#### ЛИТЕРАТУРА

- 1 Л. В. Беспалова, Изв. АН СССР, отд. техн. наук, 5, 3 (1957).
2. Описание и инструкция по применению электро моделирующей установки (МН-8), кн. 1 и 2, Мин. машиностроения и приборостроения, 1956.
- 3 Ю. И. Неймар, Инж. сб., 16, 43 (1953).

Научно-исследовательский физико-технический институт  
при Горьковском университете

Поступила в редакцию  
26 октября 1959 г.